УДК 532.516

## ДВИЖЕНИЕ ВОДНОГО РАСТВОРА ПОЛИМЕРА СО СВОБОДНОЙ ГРАНИЦЕЙ

## О. А. Фроловская

Институт гидродинамики им. М. А. Лаврентьева СО РАН,

630090 Новосибирск, Россия

Новосибирский государственный национальный исследовательский университет,

630090 Новосибирск, Россия

E-mail: oksana@hydro.nsc.ru

Рассматривается задача о нестационарном течении водного раствора полимера в полосе со свободной границей, в условие на которой входит производная искомой функции по времени. Построено решение этой задачи для слоистого течения в полосе постоянной ширины. Исследована зависимость изменения ширины полосы со временем от параметра, пропорционального релаксационной вязкости.

**Ключевые слова**: водные растворы полимеров, слоистые течения, течения со свободными границами.

DOI: 10.15372/PMTF20220106

Введение. Для описания течения слабых водных растворов полимеров в работе [1] сформулирована феноменологическая модель, учитывающая релаксационные свойства среды. Искомыми функциями в этой модели являются вектор скорости  $\boldsymbol{v}$  и давление жидкости  $\boldsymbol{p}$ . Среда полагается несжимаемой с постоянными плотностью  $\boldsymbol{\rho}$  и кинематической вязкостью  $\boldsymbol{\nu}$ . Модель содержит два эмпирических параметра: время релаксации  $\boldsymbol{\theta}$  и коэффициент релаксационной вязкости  $\tilde{\boldsymbol{\varkappa}}$ . Реологическое соотношение в этой модели имеет вид

$$P = -pI + 2\mu D + 2\frac{\tilde{\varkappa}}{\theta} \int_{-\infty}^{t} \exp\left(\frac{s-t}{\theta}\right) \frac{d}{ds} D(s) ds, \tag{1}$$

где P — тензор напряжений; I — единичный тензор;  $\mu = \rho \nu$  — динамическая вязкость; D — тензор скоростей деформаций, соответствующий векторному полю  $\boldsymbol{v}$ ; d/dt — оператор полного дифференцирования по времени, следовательно,  $d\boldsymbol{v}/dt = \partial \boldsymbol{v}/\partial t + \boldsymbol{v} \cdot \nabla \boldsymbol{v}$ .

Модификация данной модели для предельного случая малых времен релаксации предложена в работе [2], в которой соотношение (1) упрощено путем сохранения первого члена асимптотического разложения интегрального члена по параметру  $\theta \to 0$ :

$$P = -pI + 2\mu D + 2\tilde{\varkappa} \frac{dD}{dt}.$$
 (2)

Работа выполнена при финансовой поддержке Российского фонда фундаментальных исследований (код проекта 19-01-00096).

Закону состояния (2) соответствует следующая математическая модель движения водных растворов полимеров [2]:

$$\frac{d\mathbf{v}}{dt} = -\frac{1}{\rho} \nabla p + \nu \Delta \mathbf{v} + \varkappa \frac{d \Delta \mathbf{v}}{dt}, \quad \text{div } \mathbf{v} = 0$$
(3)

(вместо  $\tilde{\varkappa}$  введен параметр  $\varkappa = \tilde{\varkappa}/\rho$  — нормализованная релаксационная вязкость, имеющая размерность квадрата длины [3]).

Свойства решений для наследственной модели движения водных растворов полимеров изучены в работах [3–5], в которых также приведен обзор работ, посвященных исследованию течений полимерных растворов.

В настоящей работе в рамках упрощенной модели Павловского (3) рассматривается нестационарная задача о течении водного раствора полимера в полосе, ограниченной прямой твердой стенкой и параллельной ей свободной границей. Также рассматриваются решения, когда одна компонента скорости является линейной функцией одной из координат, а вторая компонента скорости и давление не зависят от этой координаты. Особенностью задачи является наличие малого параметра и производной по времени в граничном условии. Исследуется изменение ширины полосы за счет притока жидкости из бесконечности.

Слоистые течения со свободной границей. Пусть x, y — декартовы координаты на плоскости, u, v — соответствующие компоненты вектора скорости v.

Наиболее простой является задача о неустановившемся слоистом течении в полосе, ограниченной снизу твердой стенкой y=0, а сверху — параллельной ей свободной границей y=h, причем h= const. Решение системы (3) находим в виде

$$u = u(y, t),$$
  $v = 0,$   $p = p(y, t).$ 

При формулировке задачи в безразмерных переменных для нормирования выбраны следующие величины: ширина полосы h — для расстояния,  $h^2/\nu$  — для времени. Тогда функция u удовлетворяет уравнению

$$\frac{\partial u}{\partial t} = \gamma \frac{\partial^3 u}{\partial u^2 \partial t} + \frac{\partial^2 u}{\partial u^2} \tag{4}$$

 $(\gamma = \varkappa/h^2$  — безразмерный параметр). На твердой стенке y=0 выполняется условие прилипания

$$u = 0. (5)$$

На свободной границе y=1 кинематическое условие выполняется тождественно, а динамическое условие записывается в виде

$$\frac{\partial u}{\partial y} + \gamma \frac{\partial^2 u}{\partial y \, \partial t} = 0. \tag{6}$$

В начальный момент времени t = 0 имеем

$$u = u_0(y). (7)$$

Численное решение задачи (4)–(7) при различных значениях начальной функции  $u_0(y)$  получено в работе [5], где также отмечалось, что при  $\gamma=0$  уравнение (4) преобразуется в уравнение теплопроводности, решение которого записывается в виде  $u(y,t)=c\exp{(-\pi^2t/4)}\sin{(\pi y/2)}$ . Результаты вычислений показали, что при малых значениях  $\gamma$  решение задачи (4)–(7) близко к этому решению.

Следует отметить, что задачу (4)–(7) можно решить методом разделения переменных. Частными решениями уравнения (4), удовлетворяющими граничным условиям (5), (6), являются функции

$$u_n(y,t) = C_n \sin\left(\frac{(2n-1)\pi y}{2}\right) \exp\left(-\frac{(2n-1)^2 \pi^2 t}{4 + (2n-1)^2 \pi^2 \gamma}\right), \qquad n = 1, 2, 3, \dots,$$

представимые в виде произведения двух функций, одна из которых зависит только от y, а другая — от t. Коэффициенты  $C_n$  находятся из начального условия (7) путем разложения функции  $u_0(y)$  в ряд по синусам на интервале (0;1):

$$u_0(y) = \sum_{n=1}^{\infty} u_{0n} \sin\left(\frac{(2n-1)\pi y}{2}\right), \qquad C_n = u_{0n} = 2\int_0^1 u_0(\xi) \sin\left(\frac{(2n-1)\pi \xi}{2}\right) d\xi.$$

В силу линейности и однородности уравнения (4) решение задачи (4)–(7) можно представить в виде суммы частных решений:

$$u(y,t) = \sum_{n=1}^{\infty} u_{0n} \sin\left(\frac{(2n-1)\pi y}{2}\right) \exp\left(-\frac{(2n-1)^2 \pi^2 t}{4 + (2n-1)^2 \pi^2 \gamma}\right).$$

Деформация полосы со свободной границей. Рассмотрим нестационарное течение водного раствора полимера в полосе, ограниченной снизу твердой стенкой y=0, а сверху — параллельной ей плоской свободной поверхностью y = h(t), зависящей от времени. Для описания движения используется модель (3). Пусть продольная компонента скорости u является линейной функцией x, поперечная компонента v и давление p не зависят от x:

$$u = -xw(y,t),$$
  $v = \int_{0}^{y} w(z,t) dz,$   $p = p(y,t).$ 

Тогда функции w, p удовлетворяют системе уравнений

$$\frac{\partial w}{\partial t} + \frac{\partial w}{\partial y} \int_{0}^{y} w(z,t) dz - w^{2} = \nu \frac{\partial^{2} w}{\partial y^{2}} + \varkappa \left( \frac{\partial^{3} w}{\partial y^{2} \partial t} + \frac{\partial^{3} w}{\partial y^{3}} \int_{0}^{y} w(z,t) dz - w \frac{\partial^{2} w}{\partial y^{2}} \right),$$

$$\frac{\partial v}{\partial t} + v \frac{\partial v}{\partial y} = -\frac{1}{\rho} \frac{\partial p}{\partial y} + \nu \frac{\partial^{2} v}{\partial y^{2}} + \varkappa \left( \frac{\partial^{3} v}{\partial y^{2} \partial t} + v \frac{\partial^{3} v}{\partial y^{3}} \right).$$

Обозначим через  $h_0 = h(0)$  начальную ширину полосы. Для формулировки задачи в безразмерном виде выберем для нормирования следующие величины: ширина полосы  $h_0$  для расстояния,  $h_0^2/\nu$  — для времени,  $\nu/h_0$  — для скорости,  $\rho\nu^2/h_0^2$  — для давления. Проведя несложные преобразования, получаем, что в безразмерных переменных функ-

ция w удовлетворяет уравнению

$$\frac{\partial w}{\partial t} + \frac{\partial w}{\partial y} \int_{0}^{y} w(z, t) dz - w^{2} = \frac{\partial^{2} w}{\partial y^{2}} + \gamma \left( \frac{\partial^{3} w}{\partial y^{2} \partial t} + \frac{\partial^{3} w}{\partial y^{3}} \int_{0}^{y} w(z, t) dz - w \frac{\partial^{2} w}{\partial y^{2}} \right), \tag{8}$$

где безразмерный параметр  $\gamma = \varkappa/h_0^2$  пропорционален коэффициенту релаксационной вязкости.

На твердой стенке y=0 выполняется условие прилипания

$$w = 0. (9)$$

На свободной границе y = h(t) кинематическое и динамическое условия записываются в виде

$$\frac{\partial h}{\partial t} = \int_{0}^{h} w(y, t) \, dy; \tag{10}$$

$$\frac{\partial w}{\partial y} + \gamma \left( \frac{\partial^2 w}{\partial y \, \partial t} - w \, \frac{\partial w}{\partial y} + \frac{\partial^2 w}{\partial y^2} \int_0^h w(y, t) \, dy \right) = 0; \tag{11}$$

$$p_a - p + 2\frac{\partial v}{\partial y} + 2\gamma \left(\frac{\partial^2 v}{\partial y \partial t} + v \frac{\partial^2 v}{\partial y^2}\right) = 0, \tag{12}$$

где  $p_a$  — атмосферное давление, полагаемое постоянным. Согласно условию (10) значение скорости перемещения линии y = h(t) в направлении оси y совпадает со значением скорости v. Условие (11) означает отсутствие касательных напряжений на линии y = h(t).

В начальный момент времени t=0 имеем

$$h(0) = 1, w(y,0) = w_0(y),$$
 (13)

где  $w_0(y)$  — заданная гладкая функция.

Таким образом, требуется найти функции w(y,t) и h(t) в области  $\Omega_T = \{y,t: 0 < y < h(t), 0 < t < T\}$ , удовлетворяющие соотношениям (8)–(11), (13). Решение данной задачи описывает деформацию полосы  $x \in \mathbb{R}, 0 < y < h(t)$ , занятой водным раствором полимера. В случае если решение задачи (8)–(11), (13) известно, давление p восстанавливается квадратурой из соотношения

$$\frac{\partial v}{\partial t} + v \frac{\partial v}{\partial y} = -\frac{\partial p}{\partial y} + \frac{\partial^2 v}{\partial y^2} + \gamma \left( \frac{\partial^3 v}{\partial y^2 \partial t} + v \frac{\partial^3 v}{\partial y^3} \right).$$

Возникающая при этом произвольная функция времени позволяет удовлетворить условию равенства нормального напряжения на линии y = h(t) атмосферному давлению  $p_a$  (12).

Задачу (8)–(11), (13) можно упростить, введя новую искомую функцию

$$f = w_t + w_y \int_0^y w(z, t) dz - w^2.$$
 (14)

Тогда уравнение (8) можно представить в виде системы

$$-g_{yy} + \gamma^{-1}g = r, \qquad g = w + \gamma f, \qquad r = \gamma^{-1}w - \gamma w w_{yy} + \gamma w_y^2.$$
 (15)

В соответствии с (9), (11) функция g удовлетворяет краевым условиям

$$g = 0, \quad y = 0, \quad g_y = 0, \quad y = h.$$
 (16)

Решение задачи (15), (16) задается формулой

$$g = \int_{0}^{h(t)} G(y, \eta; t) r(\eta; t) d\eta, \tag{17}$$

где  $G(y,\eta;t)$  — функция Грина обыкновенного дифференциального оператора  $L=-d^2/dy^2+\gamma^{-1}$  с краевыми условиями (16):

$$G(y, \eta; t) = \frac{\sqrt{\gamma}}{\operatorname{ch}(h/\sqrt{\gamma})} \operatorname{ch}\left(\frac{\eta - h}{\sqrt{\gamma}}\right) \operatorname{sh}\left(\frac{y}{\sqrt{\gamma}}\right), \qquad 0 \leqslant y \leqslant \eta,$$

$$G(y, \eta; t) = \frac{\sqrt{\gamma}}{\operatorname{ch}(h/\sqrt{\gamma})} \operatorname{sh}\left(\frac{\eta}{\sqrt{\gamma}}\right) \operatorname{ch}\left(\frac{y-h}{\sqrt{\gamma}}\right), \quad \eta \leqslant y \leqslant h,$$

а переменная t, от которой зависит функция r, является параметром. Отсюда и из определения g находим

$$f = -\gamma^{-1}w + \gamma^{-1} \int_{0}^{h(t)} G(y, \eta; t) r(\eta; t) d\eta.$$
 (18)

Функции f и w зависят от переменных y и t, однако в представлении (18) переменная t является параметром. Обозначим через  $C^k[0,h]$  ( $k=2,3,\ldots$ ) пространство функций, имеющих непрерывные производные до порядка k на отрезке [0,h], а через  $C^k_0[0,h]$  — его подпространство, порожденное функциями, удовлетворяющими условиям (16). В случае если при фиксированном значении  $t\in[0,T]$  функция w(y,t) принадлежит классу  $C^k[0,h]$ , справедливо включение  $g\in C^k_0[0,h]$ .

Подставляя выражение (18) в соотношение (14), получаем уравнение, связывающее две искомые функции w и h задачи (8)–(11), (13):

$$w_t + w_y \int_0^y w(z,t) dz - w^2 + \gamma^{-1} w - \gamma^{-1} \int_0^{h(t)} G(y,\eta;t) r(\eta;t) d\eta = 0,$$
 (19)

где функция r определена последним равенством (15). Еще одна связь между ними задается соотношением (10).

Переход к лагранжевым координатам. Для решения задачи (10), (19) перейдем к лагранжевым координатам  $\xi$ , t. Связь между переменными y и  $\xi$  получаем в результате решения задачи Коши:

$$\frac{dy}{dt} = v \equiv \int_{0}^{y} w(z, t) dz, \quad t > 0, \quad y = \xi, \quad t = 0.$$

При этом свободная граница y = h(t) преобразуется в прямую  $\xi = h(0) = 1$  на плоскости  $(\xi, t)$ .

Введем обозначение  $w[y(\xi,t),t]=W(\xi,t)$  и деформацию  $y_{\xi}=\lambda$ . Функция  $\lambda(\xi,t)$  является решением задачи

$$\frac{\partial \lambda}{\partial t} = W\lambda, \quad t > 0, \qquad \lambda = 1, \quad t = 0.$$
 (20)

Из соотношений (10), (18), (19) получаем выражение для функции h(t):

$$h = y(1,t) = \int_{0}^{1} \lambda(\xi,t) \, d\xi, \tag{21}$$

а из определения деформации  $\lambda$  — выражение для функции  $y(\xi,t)$ :

$$y = \int_{0}^{\xi} \lambda(\eta, t) \, d\eta. \tag{22}$$

После перехода в уравнении (17) к лагранжевой координате и подстановки вместо функции h выражения (21) получаем уравнение

$$\frac{\partial W}{\partial t} - W^2 + \gamma^{-1}W - \gamma^{-1} \int_0^1 G[y(\xi, t), \eta(\zeta, t); t] r[\eta(\zeta, t); t] \lambda(\zeta, t) d\zeta = 0, \tag{23}$$

где  $\zeta$  — переменная, двойственная по отношению к переменной  $\xi$ . Следует отметить, что функция h(t) входит в определение функции Грина G, однако в соответствии с (21) выражена через функцию  $\lambda(\xi,t)$ . В свою очередь, согласно соотношениям (20) функция  $\lambda$  выражается через функцию W:

$$\lambda = \exp\left(\int_{0}^{t} W(\xi, \tau) d\tau\right). \tag{24}$$

Следовательно, согласно формуле (22) функция  $y(\xi,t)$  также выражается через функцию W. Это позволяет трактовать соотношение (23) как интегродифференциальное уравнение для функции  $W(\xi,t)$ , удовлетворяющей начальному условию

$$W = w_0(\xi), \qquad 0 \leqslant \xi \leqslant 1, \quad t = 0. \tag{25}$$

Таким образом, исходная задача (8)–(11), (13) сведена к относительно простой задаче (23), (25). Можно предположить, что при выполнении естественных условий гладкости и согласования, наложенных на начальную функцию  $w_0$ , для этой задачи верна теорема существования и единственности решения при достаточно малом T>0 в классах  $C^k(\bar{\Omega}_T)$ ,  $k=2,3,\ldots$  Однако данный вопрос в настоящей работе не рассматривается.

Результаты численного решения. Задача (21)–(25) решалась численно с использованием метода конечных разностей. В качестве начальной выбиралась функция  $w_0(\xi) = c \sin{(\pi \xi/2)}$ , в которой знак параметра c соответствует оттоку (c < 0) или притоку (c > 0) жидкости с бесконечности. При c < 0 с увеличением  $\gamma$  ширина полосы уменьшается и выходит на постоянное значение, как показано на рис. 1 при c = -0.1; -0.2. При этом чем меньше c, тем меньше ширина полосы при одном и том же значении  $\gamma$ . В случае c > 0, как и предполагалось, ширина полосы увеличивается. На рис. 2 приведены кривые зависимости h(t) для c = 0.1; 0.2 и различных значений  $\gamma$ . Например, при c = 0.2 и значениях  $\gamma$ , меньших некоторого критического  $\gamma_*$ , ширина полосы в некоторый момент времени начинает неограниченно возрастать и происходит разрушение решения за конечное время. Релаксационная вязкость, пропорциональная параметру  $\gamma$ , не оказывает стабилизирующего влияния. При  $\gamma > \gamma_*$  ширина полосы стабилизируется (см. рис. 2.6). Возможно, между кривыми 2 и 3 существует линия, соответствующая автомодельному решению.

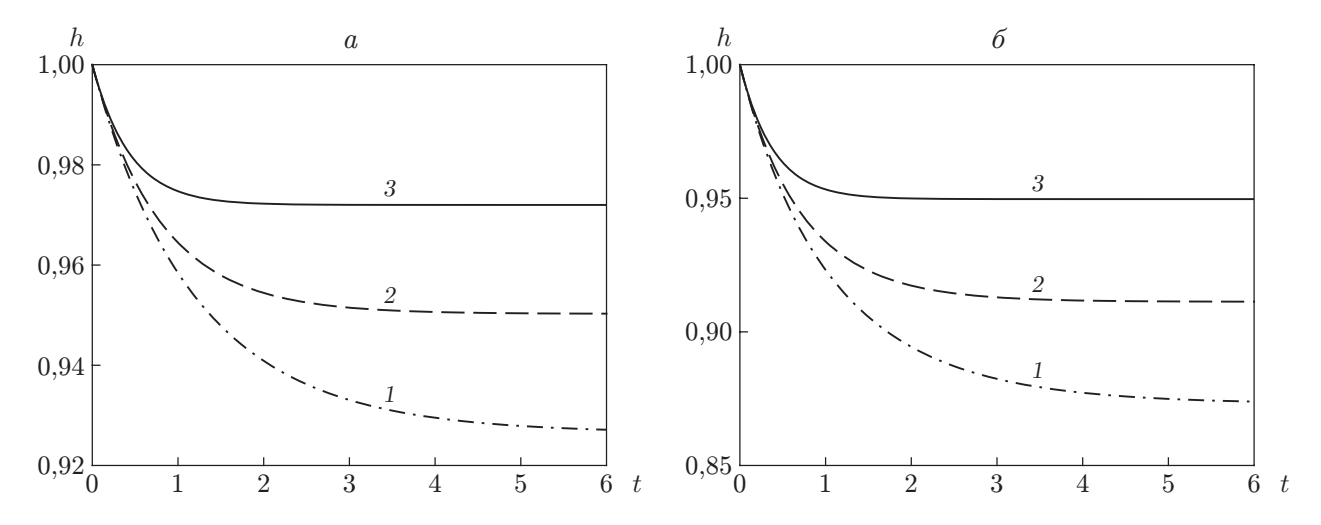


Рис. 1. Зависимость ширины полосы от времени при c=-0,1 (a), c=-0,2 (b) и различных значениях параметра  $\gamma$ :

$$1 - \gamma = 1.0, \ 2 - \gamma = 0.5, \ 3 - \gamma = 0.1$$

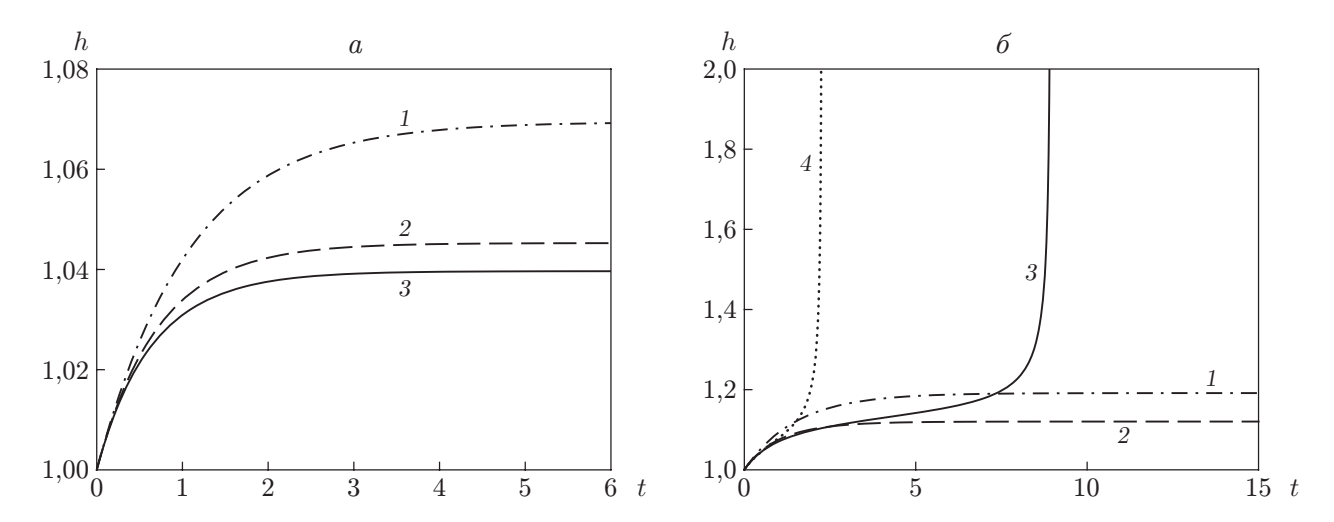


Рис. 2. Зависимость ширины полосы от времени при c=0,1 (a), c=0,2  $(\delta)$  и различных значениях параметра  $\gamma$ :

$$1 - \gamma = 0.5, 2 - \gamma = 0.2, 3 - \gamma = 0.1, 4 - \gamma = 0.05$$

Заключение. В работе исследована модель, содержащая дополнительный параметр по сравнению с классической моделью Навье — Стокса, — релаксационную вязкость  $\varkappa$ . Вопрос о величине этого параметра является дискуссионным. Экспериментальные данные для этой величины не известны, однако в соответствии с работами [1, 2] можно предположить, что эта величина мала.

При  $\varkappa=0$  уравнения исследуемой модели переходят в уравнения Навье — Стокса. Решение системы Навье — Стокса, описывающее деформацию полосы, ограниченной твердой стенкой и параллельной ей свободной границей, представлено в работах [6,7], где, в частности, установлено, что возможны два режима течения: выход на стационарное состояние или неограниченное увеличение ширины полосы жидкости. Промежуточным является режим, соответствующий автомодельному решению.

Численное исследование рассматриваемой задачи показало, что наличие малого безразмерного параметра  $\gamma$ , пропорционального релаксационной вязкости, либо стабилизирует ширину полосы жидкости, либо приводит к разрушению решения за конечное время.

Автор выражает благодарность В. В. Пухначеву за внимание к работе и полезные обсуждения.

## ЛИТЕРАТУРА

- 1. **Войткунский Я. И., Амфилохиев В. Б., Павловский В. А.** Уравнения движения жидкости с учетом ее релаксационных свойств // Тр. Ленингр. кораблестроит. ин-та. 1970. Т. 69. С. 19–26.
- 2. **Павловский В. А.** К вопросу о теоретическом описании слабых водных растворов полимеров // Докл. АН СССР. 1971. Т. 200, № 4. С. 809–812.
- 3. Frolovskaya O. A., Pukhnachev V. V. Analysis of the models of motion of aqueous solutions of polymers on the basis of their exact solutions // Polymers. 2018. V. 10. 684. DOI: 10.3390/polym10060684.
- 4. **Пухначев В. В., Фроловская О. А.** О модели Войткунского Амфилохиева Павловского движения водных растворов полимеров // Тр. Мат. ин-та. 2018. Т. 300. С. 176–189.
- 5. **Пухначев В. В., Петрова А. Г., Фроловская О. А.** Растворы полимеров и их математические модели // Изв. вузов. Сев.-Кавк. регион. Естеств. науки. 2020. № 2. С. 84–93.

6. **Журавлева Е. Н.** Численное исследование точного решения уравнений Навье — Стокса, описывающего движение жидкости со свободной границей // ПМТФ. 2016. Т. 57, № 3. С. 9–15.

7. **Pukhnachev V. V., Zhuravleva E. N.** Viscous flows with flat free boundaries // Europ. Phys. J. Plus. 2020. V. 135. 554. DOI: 10.1140/epjp/s13360-020-00552-z.

Поступила в редакцию  $15/XII\ 2020\ г.,$  после доработки —  $25/I\ 2021\ г.$  Принята к публикации  $1/III\ 2021\ г.$